

МЕРА УГЛОВОЙ РАЗРЕШАЮЩЕЙ СПОСОБНОСТИ И ТОЧНОСТЬ ИЗМЕРЕНИЯ УГЛА ПРИХОДА ВОЛНЫ ПРИ НАЛИЧИИ СЛУЧАЙНЫХ ИСКАЖЕНИЙ ЕЕ ФРОНТА И АДДИТИВНОГО ШУМА

Н.Н. МИНЕРВИН, К.С. ВАСЮТА

В статье проводится оценка угловой разрешающей способности и точности угловых измерений с учетом совместного влияния случайных флуктуаций фронта принимаемой волны (мультипликативной помехи) и аддитивных шумовых колебаний.

Ключевые слова: разрешающая способность, угол прихода волны, эквидистантная антенная решетка, аддитивный шум.

ВВЕДЕНИЕ

Постановка проблемы. При оценке угловой разрешающей способности и точности угловых измерений необходимо учитывать совместное влияние случайных флуктуаций фронта принимаемой волны (мультипликативной помехи) и аддитивных шумовых колебаний. Общие положения теории этих вопросов разработаны (например, см. [1]), однако имеется потребность в получении формул, в явном виде определяющих показатели качества углового разрешения и измерения при различных условиях. Желательно сформулировать численный критерий, устанавливающий, при каких условиях эти показатели качества могут оцениваться по хорошо известным соотношениям, учитывающим только аддитивный шум [2], или по соотношениям, учитывающим только мультипликативную помеху [3; 4]. В последнем, менее изученном случае, необходимы дальнейшие аналитические и численные оценки.

ОСНОВНАЯ ЧАСТЬ

На примере широко используемой линейной эквидистантной антенной решетки с симметричным амплитудным распределением оценим влияние ряда факторов на меру угловой разрешающей способности и потенциальные погрешности угловых измерений. Наряду с электрическим размером антенны, ее амплитудным распределением и отношением сигнал-шум учтем и влияние статистических характеристик флуктуаций фронта принимаемой волны. При этом используем достаточные статистики, приведенные в [5].

При дисперсии σ^2 потенциальной погрешности измерения угла прихода волны справедливо соотношение [2]

$$\frac{1}{\sigma^2} = - \frac{\partial^2 \ln l(\theta)}{\partial \theta^2} \Big|_{\theta = \hat{\theta}}. \quad (1)$$

Здесь $\ln l(\theta)$ — зависящая от измеряемого угла θ часть логарифма отношения правдоподобия; $\hat{\theta}$ — оптимальная оценка измеряемого угла.

Для меры разрешающей способности $\Delta\theta$, определяемой шириной нормированной функции рассогласования [2], справедливо соотношение

$$\Delta\theta = q\sigma, \quad (2)$$

где q — отношение сигнал-шум по напряжению на выходе устройства согласованной обработки принятой реализации.

При значениях параметра $\gamma = q^2 \sigma_\varphi^2 (1-a) \ll 1$, где σ_φ^2 — дисперсия фазовых флуктуаций на элементах антенной решетки, обусловленных флуктуациями фронта волны, a — коэффициент их корреляции для соседних элементов, в [5] получено:

$$\ln l(\theta) = \frac{q^2}{2} \left\{ 1 - \frac{1}{2} \sum_{k=1}^m \zeta_k \left[\Delta\Phi_k - (2k-1) \frac{2\pi d}{\lambda} \sin\theta \right]^2 \right\}. \quad (3)$$

Здесь k — номер симметричной пары элементов антенны, отсчитываемый от центра антенны; m — число таких пар; $\zeta_k = Z_k / Z_\Sigma$ — параметр, характеризующий амплитудное распределение по элементам антенны; $Z_k = \frac{1}{2} \left| \int_{-\infty}^{\infty} \dot{Y}_k(t) \dot{X}_k^*(t) dt \right|$ — модуль комплексного корреляционного интеграла (результат временной обработки) в каналах k -й пары; $\dot{Y}_k(t)$ — комплексная огибающая принятой реализации; $\dot{X}_k^*(t)$ — комплексно сопряженная огибающая ожидаемого сигнала в каналах k -й пары; $Z_\Sigma = \sum_{k=1}^m Z_k$; $\Delta\Phi_k$ — разность фаз напряжений каналов k -й пары, возникающих при приеме волны; d — расстояние между соседними элементами антенной решетки; λ — длина волны.

После двукратного дифференцирования (3) с учетом (1) и (2) имеем

$$\frac{1}{\sigma^2} = \frac{q^2}{\Delta\theta^2} = 2q^2 \left(\frac{\pi d \cos\theta}{\lambda} \right)^2 \sum_{k=1}^m \zeta_k (2k-1). \quad (4)$$

Для значений параметра $\gamma = q^2 \sigma_\varphi^2 (1-a) \gg 1$ в [5] приведено: при $m \geq 2$

$$\ln l(\theta) = \frac{q^2}{2} - \frac{1}{4\sigma_\varphi^2(1-a^2)} \left\{ \left[\Delta\Phi_m - (2m-1) \frac{2\pi d}{\lambda} \sin(\theta) \right]^2 + (1+a+a^2) \times \left(\Delta\Phi_1 - \frac{2\pi d}{\lambda} \sin\theta \right)^2 \right\}$$

$$\begin{aligned}
 & + (1+a^2) \sum_{k=2}^{m-1} \left[\Delta\Phi_k - (2k-1) \frac{2\pi d}{\lambda} \sin(\theta) \right]^2 - \\
 & - 2a \sum_{k=1}^{m-1} \left[\Delta\Phi_k - (2k-1) \frac{2\pi d}{\lambda} \sin(\theta) \right]^2 \times \\
 & \times \left[\Delta\Phi_{k+1} - (2k+1) \frac{2\pi d}{\lambda} \sin(\theta) \right]. \quad (5)
 \end{aligned}$$

При $m = 1$

$$\ln I(\theta) = \frac{q^2}{2} - \frac{1}{4\sigma_\Phi^2(1-a)} \left(\Delta\Phi - \frac{2\pi d}{\lambda} \sin\theta \right)^2. \quad (6)$$

Используя (1), (2), (5) и (6), записываем: при $m \geq 2$

$$\frac{1}{\sigma^2} = \frac{q^2}{\Delta\theta^2} = 2 \left(\frac{\pi d \cos\theta}{\lambda} \right)^2 \frac{1-a}{\sigma_\Phi^2(1+a)} \times$$

$$\times \left\{ \sum_{k=1}^m (2k-1)^2 + \frac{(2m-1)[2m-1-(2m-3)a]}{(1-a)^2} \right\}; \quad (7)$$

при $m = 1$

$$\frac{1}{\sigma^2} = \frac{q^2}{\Delta\theta^2} = 2 \left(\frac{\pi d \cos\theta}{\lambda} \right)^2 / \sigma_\Phi^2(1-a). \quad (8)$$

Для произвольного значения параметра γ и четырехэлементной антенной решетки

$$\begin{aligned}
 & \ln I(\theta) = \\
 & = \frac{q^2}{2} \left\{ 1 - \frac{[1+a+a^2+(\zeta_2\gamma)^{-1}]\delta\Phi_{23}^2 + [1+(\zeta_2\gamma)^{-1}]\delta\Phi_{14}^2 - 2a\delta\Phi_{23}\delta\Phi_{14}}{2[(1+a)\gamma + \zeta_2^{-1} + (1+a+a^2)\zeta_1^{-1} + (\zeta_1\zeta_2\gamma)^{-1}]} + \right. \\
 & \left. + \frac{[1+(\zeta_2\gamma)^{-1}]\delta\Phi_{14}^2 - 2a\delta\Phi_{23}\delta\Phi_{14}}{2[(1+a)\gamma + \zeta_2^{-1} + (1+a+a^2)\zeta_1^{-1} + (\zeta_1\zeta_2\gamma)^{-1}]} \right\}, \quad (9)
 \end{aligned}$$

где $\delta\Phi_{ij} = \Delta\Phi_{ij} - (j-i) \frac{2\pi d}{\lambda} \sin\theta$ — отличие измеряемой разности фаз симметричных каналов $\Delta\Phi_{ij}$ от ее ожидаемого значения [5].

Используя (1), (2) и (9), находим:

$$\begin{aligned}
 & \frac{1}{\sigma^2} = \frac{q^2}{\Delta\theta^2} = \frac{q^2}{2} \left(\frac{2\pi d}{\lambda} \cos\theta \right)^2 \times \\
 & \times \frac{10 - 5a + a^2 + \gamma^{-1}(\zeta_2^{-1} + 9\zeta_1^{-1})}{(1+a)\gamma + \zeta_2^{-1} + (1+a+a^2)\zeta_1^{-1} + (\zeta_1\zeta_2\gamma)^{-1}}. \quad (10)
 \end{aligned}$$

При $\gamma \ll 1$ или $\gamma \gg 1$ эти соотношения переходят соответственно в (4) и (7) для $m = 2$.

На рис. 1–4 представлены рассчитанные с использованием (10) зависимости среднеквадратичной погрешности σ измерения угла прихода волны и меры угловой разрешающей способности $\Delta\theta$ от отношения сигнал-шум по мощности q^2 , характеризующего амплитудное распределение отношения $\zeta = \zeta_1/\zeta_2$, дисперсии σ_Φ^2 фазовых флуктуаций и коэффициента их корреляции a в смежных элементах антенны. Величины σ и $\Delta\theta$ выражены в единицах, обратных электрической длине антенны $l_3 = 3d/\lambda$ (примерно совпадают с шириной диаграммы направленности

антенны). На рис. 1 и 2 на горизонтальные оси нанесены также значения параметров γ и γ/σ_Φ^2 . Изменение их значений приводит к качественному изменению закономерностей измерения и разрешения.

Из рисунков и соотношения (4) видно, что при $\gamma \ll 1$ справедливы известные соотношения для точности измерения угла прихода и меры разрешающей способности пространственно когерентных сигналов: мера угловой разрешающей способности обратно пропорциональна электрическому размеру антенны и зависит от распределения амплитуд вдоль нее, а потенциальная среднеквадратичная угловая погрешность, кроме этого, еще и обратно пропорциональна отношению сигнал-шум по напряжению на выходе устройства согласованной обработки.

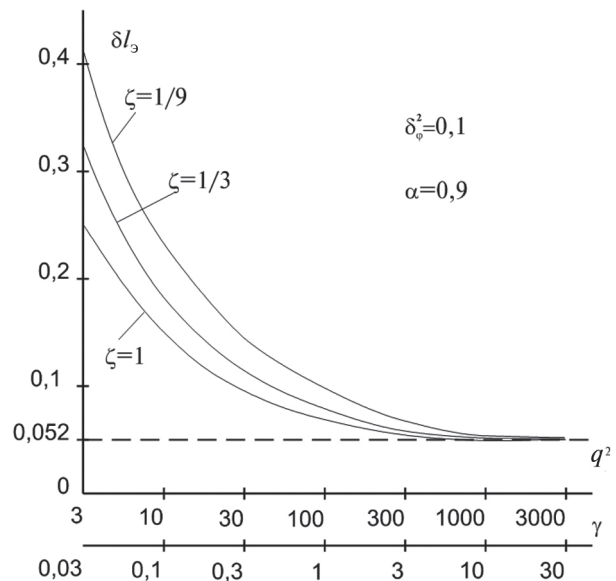


Рис. 1. Зависимость среднеквадратичной погрешности измерения угла прихода волны от отношения сигнал-шум по мощности

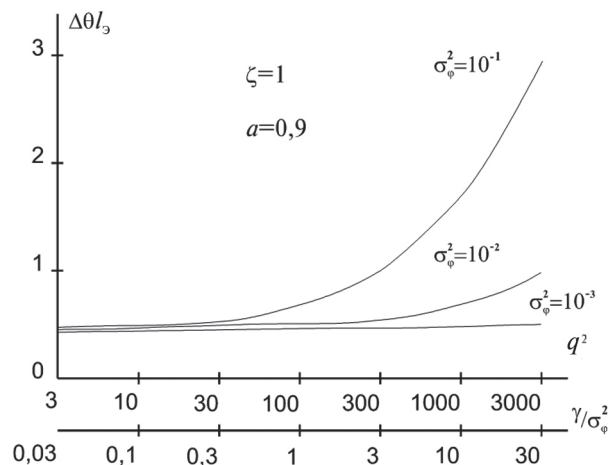


Рис. 2. Зависимость меры угловой разрешающей способности от отношения сигнал-шум по мощности

Из рисунков и соотношений (7) и (8) видно, что при $\gamma \gg 1$ действуют другие закономерности: на среднеквадратичную погрешность измерения не влияет амплитудное распределение вдоль ан-

тенны; не влияет отношение сигнал-шум, а мера разрешающей способности пропорциональна ему. Определяющее влияние оказывают статистические характеристики фазовых флуктуаций.

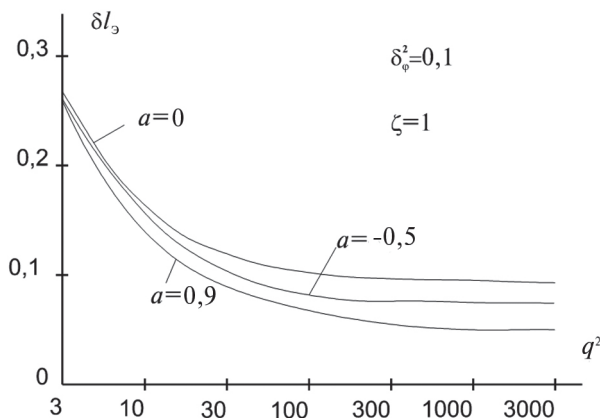


Рис. 3. Зависимость среднеквадратичной погрешности измерения угла прихода волны от отношения сигнал-шум по мощности

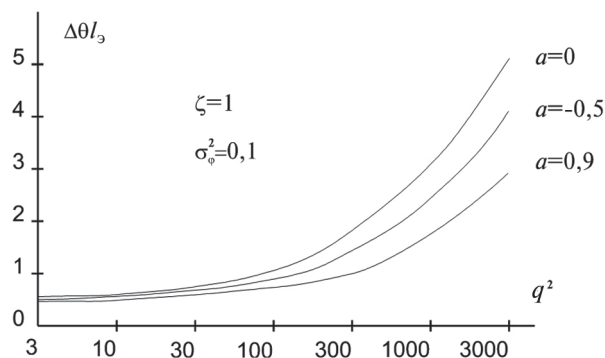


Рис. 4. Зависимость меры угловой разрешающей способности от отношения сигнал-шум по мощности

ВЫВОДЫ

Из рассмотренного выходит неочевидное свойство: мера близости оптимальной обработки частично когерентного и полностью когерентного пространственных сигналов определяется не только статистическими характеристиками флуктуаций фронта волны, но и отношением сигнал-шум на выходе устройства обработки. Это означает, например, что алгоритмы оптимальной пространственной обработки [5] и потенциальные показатели ее качества могут существенно различаться для слабого полезного и сильного помехового сигналов.

Литература

- [1] Фалькович С.Е., Пономарев В.И., Шкварко Ю.В. Оптимальный прием пространственно-временных сигналов в радиоканалах с рассеянием. — М.: Радио и связь, 1989. — 295 с.
- [2] Ширман Я.Д., Манжос В.Н. Теория и техника обработки радиолокационной информации на фоне помех. — М.: Сов. радио, 1981. — 416 с.
- [3] Бакут П.А., Логинов В.А., Троицкий И.Н. Измерение угловых координат источников когерентного светового излучения по фазовому фронту принимаемой волны // Радиотехника и электрон. 1977. — Т. 22, № 2. — С. 286.

- [4] Кравцов Ю.А., Фейзулин З.И., Виноградец А.Г. Прохождение радиоволн через атмосферу Земли. — М.: Радио и связь, 1983. — 223 с.
- [5] Минервин Н.Н. Васюта К.С. Оптимальное оценивание угла прихода волны при наличии случайных искажений ее фронта и аддитивных помех. — Харьков. / ХТУРЭ. Всеукр. научно-технический сборник / Радиотехника. — 1998. — Вып. 105. — С. 61–68.

Поступила в редколлегию 4.10.2013



Минервин Николай Николаевич, доктор технических наук, профессор, ведущий научный сотрудник научного центра Воздушных Сил Харьковского университета Воздушных Сил имени Ивана Кожедуба. Научные интересы: теория распространения радиоволн, теория антенных систем, теория и техника радиолокации.



Васюта Константин Станиславович, доктор технических наук, профессор, начальник факультета автоматизированных систем управления и наземного обеспечения полетов авиации Харьковского университета Воздушных Сил имени Ивана Кожедуба. Научные интересы: сложные сигналы и их обработка в радиотехнических системах; хаотическая, нелинейная динамика, стеганография.

УДК 621.391.26

Міра кутової роздільної здатності і точність вимірювання кута приходу хвилі за наявності випадкових викривлень її фронту та адитивного шуму / М.М. Мінервін, К.С. Васюта // Прикладна радіоелектроніка: наук.-техн. журнал. — 2013. — Том 12. — № 4. — С. 484–486.

У статті проводиться оцінка кутової розрізняльної здатності і точності кутових вимірювань з урахуванням сумісного впливу випадкових флуктуацій фронту прийнятої хвилі (мультиплікативної завади) та адитивних шумових коливань.

Ключові слова: роздільна здатність, кут приходу хвилі, еквідистантна антенна решітка, адитивний шум.

Лл.: 4. Бібліогр.: 5 найм.

UDC 621.391.26

Measure of angular resolution capability and measuring accuracy of a wave arrival corner in the presence of irregular distortions of its front and additive noise / N.N. Minervin, K.S. Vasyuta // Applied Radio Electronics: Sci. Journ. — 2013. — Vol. 12. — № 4. — P. 484–486.

The paper estimates angular resolution capability and accuracy of angular measurements in view of a joint influence of casual fluctuations of the front of a received wave (multiplicative noise) and additive noise oscillations.

Keywords: resolution capability, wave arrival corner, equidistant antenna array, additive noise.

Fig.: 4. Ref.: 5 items.